

Санкт-Петербургский политехнический университет  
Высшая школа прикладной математики и  
вычислительной физики,  
Физико-механический институт

Направление подготовки  
01.03.02 «Прикладная математика и информатика»

Отчет по лабораторной работе №2  
по дисциплине «Интервальный анализ»

Выполнил студент гр. 5030102/80201  
Игнатъев Д. Д.  
Проверил  
Баженов А. Н.

Санкт-Петербург  
2021

# Содержание

	Страница
<b>1 Постановка задачи</b>	<b>4</b>
1.1 Внешнее оценивание множества решений ИСЛАУ в $\mathbb{IR}$ . . . . .	4
1.2 Внешнее оценивание множества решений нелинейных задач в $\mathbb{IR}$ . . . . .	4
<b>2 Теория</b>	<b>4</b>
2.1 Внешнее множество решений . . . . .	4
2.2 Метод Кравчика . . . . .	4
2.3 Выбор начального приближения . . . . .	5
<b>3 Реализация</b>	<b>5</b>
<b>4 Результаты</b>	<b>5</b>
4.1 Спектральный радиус $ I - \Lambda A $ . . . . .	5
4.2 Оценка бруса начального положения . . . . .	5
4.3 Результаты применения метода Кравчика для задачи (1) . . . . .	6
4.4 Результаты применения метода Кравчика для задачи (2) . . . . .	8
<b>5 Обсуждение</b>	<b>9</b>

## Список иллюстраций

	<b>Страница</b>
1 Иллюстрация работы метода Кравчика для ИСЛАУ . . . . .	6
2 График радиусов брусков для ИСЛАУ . . . . .	7
3 График сходимости брусков для ИСЛАУ . . . . .	7
4 Иллюстрация работы метода Кравчика для нелинейной системы . . . . .	8
5 График радиусов брусков для нелинейной системы . . . . .	8
6 График сходимости брусков для нелинейной системы . . . . .	9

# 1 Постановка задачи

## 1.1 Внешнее оценивание множества решений ИСЛАУ в $\mathbb{IR}$

Дана ИСЛАУ

$$\begin{cases} 1x_1 + 2x_2 = [2, 4] \\ x_1 - [1, 2] \cdot x_2 = 0 \end{cases} \quad (1)$$

Необходимо произвести оценку внешнего множества решений с помощью метода Кравчика и:

- Определить спектральный радиус матрицы
- Провести оценку начального бруса решения
- Проиллюстрировать положение брусов при итерациях
- Проиллюстрировать радиусы брусов при итерациях
- Проиллюстрировать расстояние центров брусов при итерациях до центра последнего бруса

## 1.2 Внешнее оценивание множества решений нелинейных задач в $\mathbb{IR}$

Дана нелинейная система уравнений

$$\begin{cases} x_1 + 2x_2 = [2, 4] \\ \frac{x_1}{x_2} = [1, 2] \end{cases} \quad (2)$$

Необходимо произвести оценку внешнего множества решений с помощью метода Кравчика и:

- Проиллюстрировать положение брусов при итерациях
- Проиллюстрировать радиусы брусов при итерациях
- Проиллюстрировать расстояние центров брусов при итерациях до центра последнего бруса

# 2 Теория

## 2.1 Внешнее множество решений

Под внешним множеством решений понимается объединенное множество решений, образованное решениями всех точечных систем  $F(a, x) = b$

$$\Xi_{\text{uni}} = \{x \in R^n | \exists a \in a, \exists b \in b : F(a, x) = b\}$$

## 2.2 Метод Кравчика

Метод Кравчика - это итерационная процедура уточнения двусторонней границы решений системы  $n$  уравнений с  $n$  неизвестными  $F(x) = 0$ ,  $x \in X \subset IR^n$ , определенной на некотором брусе  $X$ . Данный метод позволяет не только произвести оценку, но и убедиться, что решений не существует.

Отображение  $\mathcal{K}(X, \bar{x}) = \bar{x} - \Lambda \cdot F(\bar{x}) - (I - \Lambda \cdot L) \cdot (X - \bar{x})$  называется оператором Кравчика на  $X$  относительно точки  $\bar{x}$ . Если  $\rho(I - \Lambda \cdot L) < 1$ , то по теореме Шрёдера у отображения существует единственная неподвижная точка, являющаяся решением рассматриваемой системы уравнений.

Метод Кравчика заключается в построении последовательности  $\{X^k\}_{k=0}^\infty$  по формуле

$$X^{k+1} = X^k \cap \mathcal{K}(X^k, \bar{x}^k)$$

Начальный брус, точки  $\bar{x}$ , предобуславливатель  $\Lambda$  и матрица  $L$  выбираются исходя из эмпирических соображений для каждой конкретной системы уравнений. Для решения задачи (2) будут использованы следующие формулы:

$$X^0 = \left( \begin{bmatrix} 0.1, 5 \\ 0.1, 5 \end{bmatrix} \right), \quad \bar{x}^k = \text{mid } X^k, \quad \Lambda = \Lambda(x) = (\text{mid } J(x))^{-1}, \quad L = L(x) = J(x)$$

где  $J(x)$  - якобиан.

Частный случай метода Кравчика для ИСЛАУ выглядит следующим образом:

$$x^{k+1} = (\Lambda \cdot b + (I - \Lambda \cdot A) \cdot x^k) \cap x^k,$$

где  $A$  - матрица ИСЛАУ,  $b$  - вектор правой части. Для решения задачи (1) предобуславливатель будет выбран как  $\Lambda = (\text{mid } A)^{-1}$ .

### 2.3 Выбор начального приближения

Для систем общего вида выбор начального бруса - отдельная задача, которая не поддается обобщению. Тем не менее, в случае ИСЛАУ справедливо следующее утверждение:

$$\eta = \|I - \Lambda \cdot A\|_\infty < 1 \Rightarrow \Xi_{\text{uni}} \subset \left( \begin{bmatrix} -\theta, \theta \\ \dots \\ -\theta, \theta \end{bmatrix} \right), \quad \theta = \frac{\|\Lambda \cdot b\|_\infty}{1 - \eta}$$

В качестве начального приближения при решении задачи (1) будет использована эта оценка внешнего множества решений.

## 3 Реализация

Для осуществления вычислений и визуализации результатов использовался язык программирования Python. Среда разработки IntelliJ IDEA.

## 4 Результаты

### 4.1 Спектральный радиус $|I - \Lambda A|$

Рассмотрим матрицу  $|I - \Lambda A|$ .

$$|I - \Lambda A| \approx \begin{pmatrix} 0 & 0.2857 \\ 0 & 0.1429 \end{pmatrix}$$

Её спектральный радиус меньше единицы, следовательно процесс сходится.

$$\rho(|I - \Lambda A|) \approx 0.1429 < 1$$

Итерационный процесс сходящийся, можно пользоваться методом Кравчика.

### 4.2 Оценка бруса начального положения

$\|I - \Lambda \cdot A\|_\infty \approx 0.2857 < 1$ . Следовательно, можно воспользоваться описанным выше способом выбора  $X^0$ .

$$\theta = \frac{\|\Lambda \cdot b\|_\infty}{1 - \eta} \approx 2.4 \Rightarrow X^0 = \left( \begin{bmatrix} -2.4, 2.4 \\ -2.4, 2.4 \end{bmatrix} \right)$$

### 4.3 Результаты применения метода Кравчика для задачи (1)

Если построить 4 прямые и найти область, образованную их пересечением, то получим  $\Xi_{uni}$  для рассматриваемой задачи.

Результатом выполнения метода Кравчика являются следующие брусы:

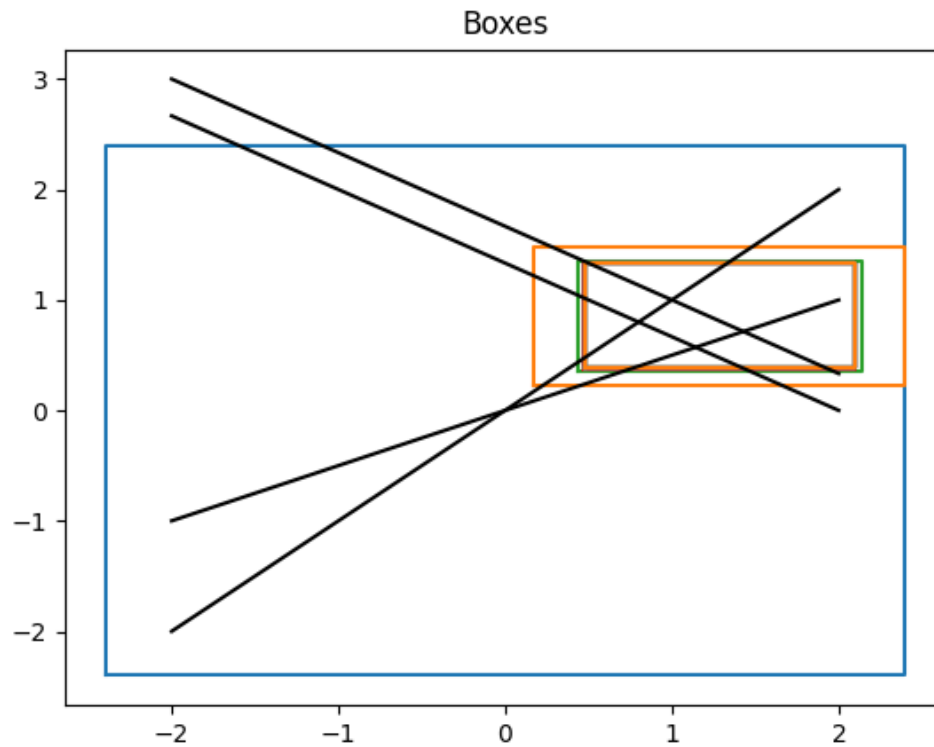


Рис. 1: Иллюстрация работы метода Кравчика для ИСЛАУ

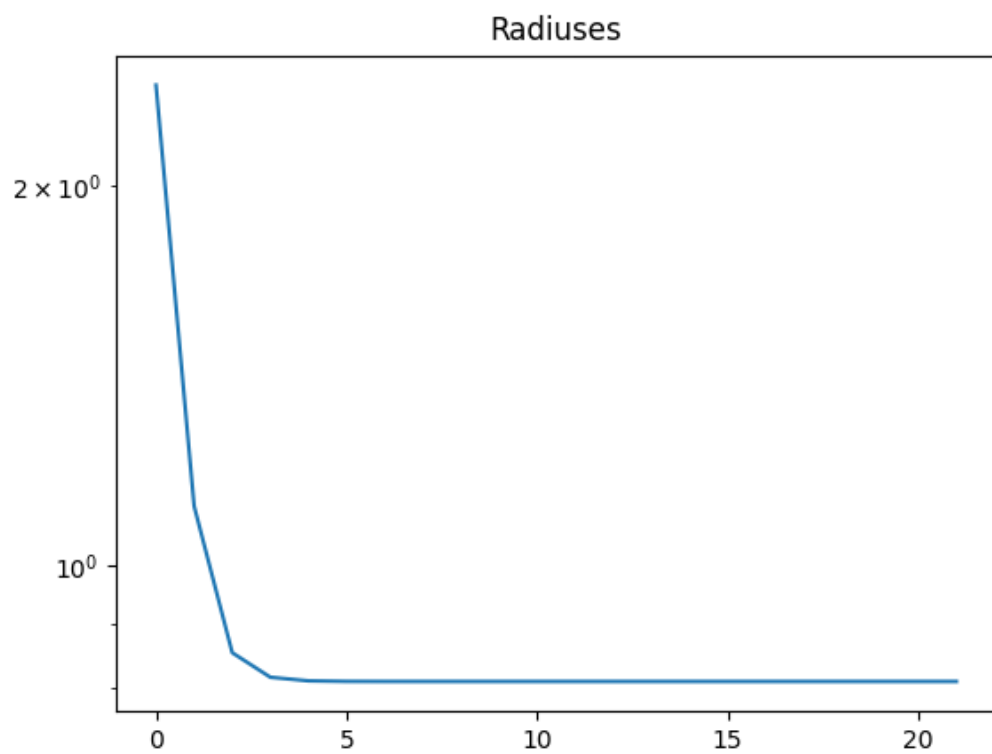


Рис. 2: График радиусов брусов для ИСЛАУ

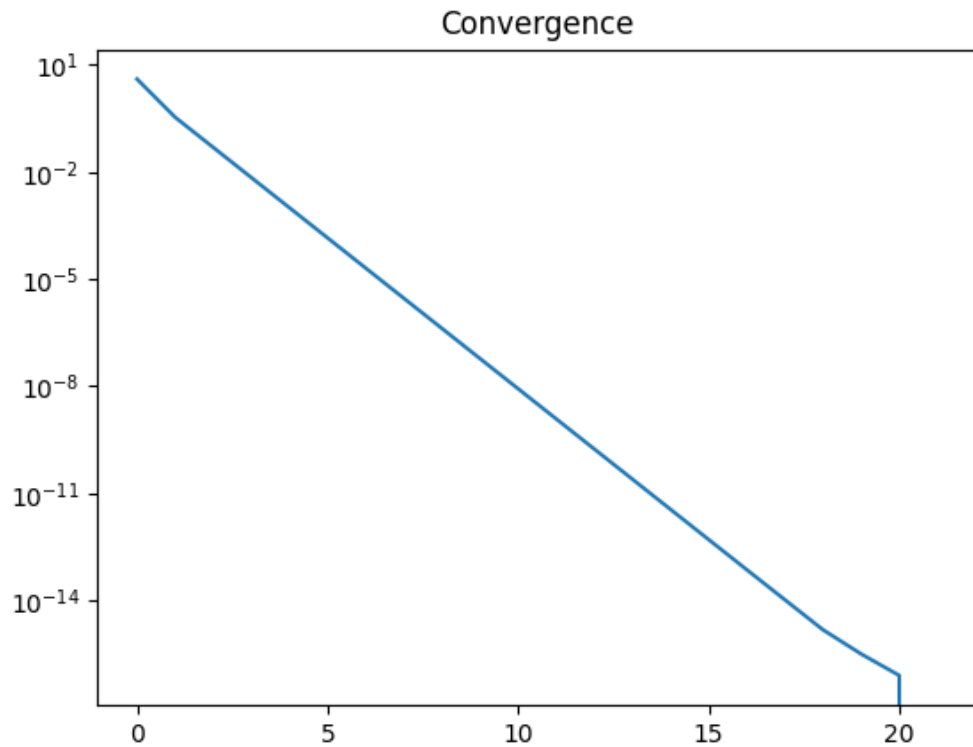


Рис. 3: График сходимости брусков для ИСЛАУ

#### 4.4 Результаты применения метода Кравчика для задачи (2)

Результатом выполнения метода Кравчика являются следующие брусы:

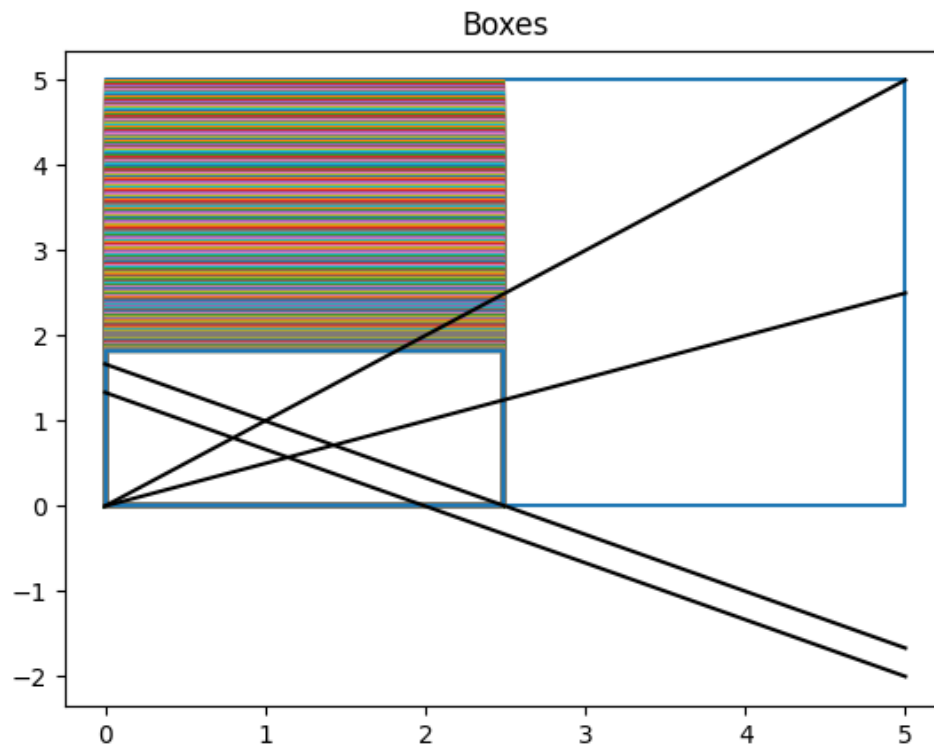


Рис. 4: Иллюстрация работы метода Кравчика для нелинейной системы

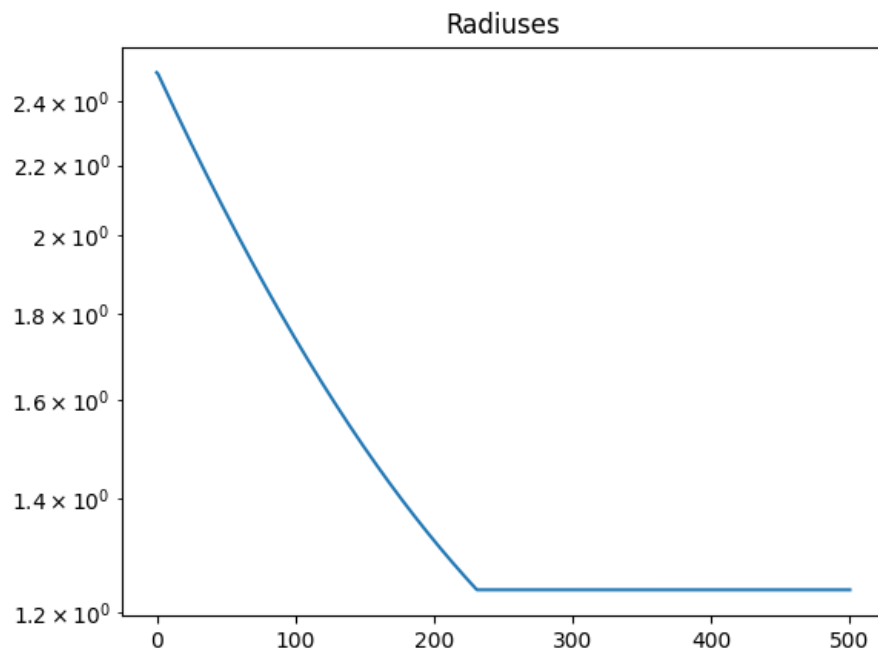


Рис. 5: График радиусов брусков для нелинейной системы



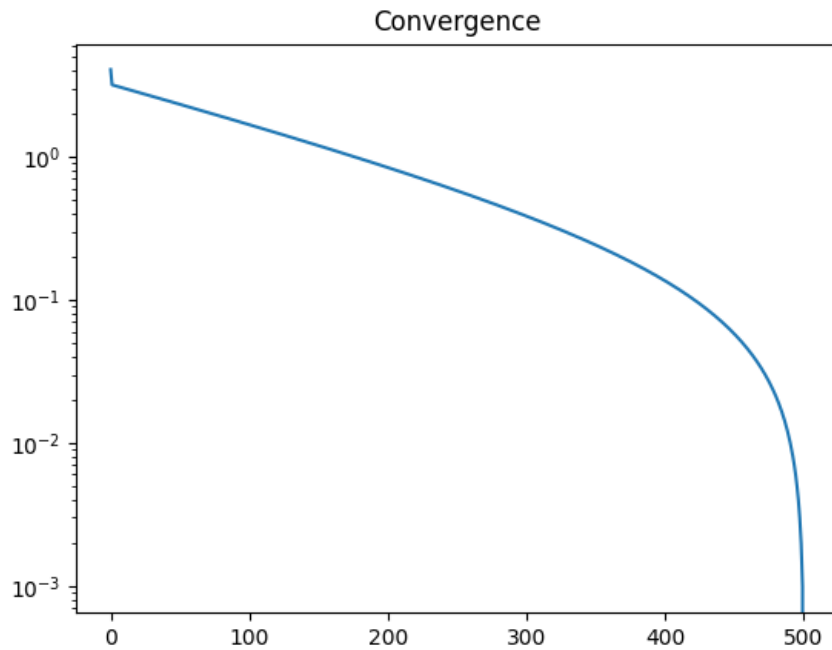


Рис. 6: График сходимости брусов для нелинейной системы

## 5 Обсуждение

При решении задачи (2) начальная оценка была подобрана так, чтобы брус не включал 0, иначе в якобиане появляется операция деления на 0. По приведенным результатам можем заметить быструю сходимость метода Кравчика для ИСЛАУ. Для нелинейного случая требуется в разы больше итераций. Так же стоит отметить, что в линейном случае брус значительно лучше приближает множество решений системы и приближается к решению со всех сторон, что в нелинейном случае происходит не всегда.